

**TABLICE DO WYZNACZANIA PRZYCIĄGANIA CIĘŁ
DWUWYMIAROWYCH O PRZEKRÓJU PROSTOKĄTNYM**

UKD 550.831(063.53)

Zarówno stopień pionowy, jak i pryzma prostokątna, które tu wchodzą w rachubę — są to modele interpretacyjne bardzo często stosowane do aproksymacji wydłużonych struktur geologicznych takich, jak: uskoków, połkłydy poziome lub pionowe i inne. Ponadto znaczenie pryzmy prostokątnej polega na tym, że można dowolne ciało dwuwymiarowe zastąpić przez serię pryzm prostokątnych. Jak wiadomo, obliczenia prowadzone według odpowiednich wzorów są bardzo żmudne i dlatego zmierza się do uproszczenia czynności obliczeniowych przez zastosowanie nomogramów lub tablic.

Niżej publikuje się tablice, z pomocą których można wyznaczyć przyciąganie stopnia pionowego oraz pryzmy prostokątnej. Podstawowym elementem opracowania niniejszych tablic jest przyciąganie warstwy półmieskościowej przylegającej do płaszczyzny xy układu współrzędnych, którego początek jest umieszczony w punkcie, gdzie obliczamy przyciąganie Δg (ryc. 1).

$$\begin{aligned} \Delta g &= k\sigma \int_0^h dz \int_{-\infty}^{\infty} dx \int_{-\infty}^{+\infty} \frac{dy}{(x^2 + y^2 + z^2)^{3/2}} = \\ &= k\sigma \left(nh - x \ln \frac{x^2 + h^2}{x^2} - 2 \operatorname{arctg} \frac{x}{h} \right) \end{aligned}$$

gdzie k — stała grawitacji, σ — względna gęstość warstwy.

W tablicach podane są wartości tej funkcji w zależności od h oraz x ($x \geq 0$), wyrażonych w km, przy czym Δg otrzymuje się w mgil. Wartości Δg zostały obliczone przy założeniu $\sigma = 1 \text{ g/cm}^3$ oraz $k = 6,670 \cdot 10^{-8} \text{ cgs}$. Zarówno zakres zmienności argumentu h (od 0,05 do 10 km), jak i interwał zmienności x , są dostosowane do interpretacji płytowych i średniogłębokich struktur geologicznych. Wartości tablicowe są podane z dokładnością 0,01 mgil, w odstępach na tyle małych, że interpolacja liniowa powinna wystarczać.

Sposób posługiwania się tablicami objaśnimy na przykładach.

Przyciąganie stopnia pionowego w ogólnym przypadku otrzymujemy się przez odjęcie przyciągania dwóch stopni przylegających do płaszczyzny xy o różnych miąższościach i o tej samej odciętej krawędzi. Zgodnie z ryc. 2 — aby otrzymać Δg stopnia o miąższości AD , należy od przyciągania stopnia o miąższości AD odjąć przyciąganie stopnia o miąższości xA .

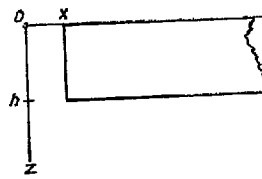
Przykład 1.

Współrzędne krawędzi stopnia są:

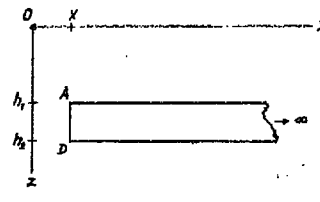
A ($x = 1 \text{ km}$, $h_1 = 2 \text{ km}$) D ($x = 1 \text{ km}$, $h_2 = 3 \text{ km}$)

x km	1	1,2	1,5	2	2,5	3	h km	3,5	4	4,5	5	6	7	8	.. 9	10
	20,95	25,14	31,43	41,91	52,39	62,86	73,34	83,82	94,29	104,77	125,72	146,68	167,63	188,59	209,54	
0,025	19,40	23,52	29,75	40,13	50,52	60,95	71,38	81,81	92,24	102,68	123,63	144,58	165,54	186,49	207,44	
0,05	18,29	22,56	28,50	38,79	48,11	58,49	69,88	80,26	90,64	101,08	121,90	142,76	163,62	184,48	205,35	
0,1	16,55	20,50	26,49	36,58	46,76	57,00	67,27	77,59	87,90	98,22	118,99	139,76	160,62	181,29	202,06	
0,15	15,15	18,98	24,82	34,73	44,75	54,87	65,05	75,26	85,50	95,75	116,88	137,01	157,70	178,48	199,25	
0,2	18,97	17,69	23,38	33,09	42,98	52,97	63,04	73,16	83,54	93,52	114,01	134,54	155,18	175,80	196,48	
0,3	12,08	15,55	20,96	30,30	38,89	49,34	59,51	69,45	79,46	89,51	109,73	130,10	150,52	171,01	191,50	
0,4	10,59	13,85	18,98	27,95	37,25	46,76	56,42	66,18	76,04	85,95	105,95	126,08	146,31	166,67	187,03	
0,5	9,40	12,45	17,81	25,92	34,94	44,21	53,67	63,26	72,98	82,78	102,48	122,41	142,48	162,67	182,89	
0,6	8,43	11,28	15,89	24,15	32,88	41,92	51,18	60,60	70,14	79,78	99,28	119,01	138,90	158,92	179,01	
0,7	7,61	10,29	14,66	22,58	31,04	39,85	48,91	58,16	67,55	77,04	96,31	115,82	135,54	155,40	175,36	
0,8	6,98	9,44	13,58	21,19	29,88	37,98	46,88	55,90	65,18	74,50	93,52	112,85	132,37	152,08	171,90	
0,9	6,35	8,71	12,64	19,98	27,86	36,22	44,90	53,80	62,88	72,11	90,89	110,02	129,38	148,91	168,61	
1	5,85	8,07	11,80	18,80	26,48	34,68	43,11	51,85	60,78	69,87	88,43	107,34	126,53	145,92	165,46	
1,2	5,05	7,02	10,40	16,85	24,05	31,78	39,89	48,80	56,94	65,77	83,84	102,36	121,19	140,38	159,55	
1,5	4,16	5,86	8,78	14,52	21,06	23,20	35,79	48,73	51,94	60,88	77,77	95,70	114,02	132,64	151,49	
1,7	3,72	5,26	7,95	13,26	19,41	26,19	33,45	41,08	49,02	57,21	74,15	91,69	109,66	127,98	146,57	
2	3,21	4,55	6,98	11,71	17,33	23,61	30,40	37,60	45,15	52,97	69,26	86,23	108,70	121,56	139,74	
2,5	2,60	3,71	5,68	9,76	14,63	20,18	26,29	32,84	39,77	47,01	62,26	78,31	94,97	112,10	129,82	
3	2,18	3,12	4,81	8,83	12,62	17,56	23,08	29,04	35,41	42,18	56,41	71,59	87,46	103,89	120,75	
3,5	1,88	2,69	4,17	7,28	11,06	15,51	20,49	25,95	31,88	38,07	51,46	65,81	80,94	96,87	112,91	
4	1,65	2,37	3,67	6,42	9,81	13,86	18,41	23,41	28,85	34,66	47,21	60,80	75,21	90,80	105,39	
4,5	1,49	2,11	3,28	5,75	8,84	12,49	16,67	21,81	26,84	31,76	45,55	56,43	70,16	84,61	99,66	
5	1,38	1,91	2,96	5,20	8,02	11,37	15,23	19,52	24,21	29,27	40,87	52,57	65,68	79,53	94,01	
5,5	1,28	1,74	2,70	4,75	7,34	10,43	13,97	17,99	22,88	27,11	37,58	49,16	61,66	74,95	88,90	
6	1,11	1,59	2,48	4,37	6,76	9,62	12,94	16,66	20,79	25,28	35,12	46,12	58,07	70,82	84,26	
7	0,95	1,37	2,18	3,76	5,84	8,38	11,23	14,52	18,14	22,12	31,03	40,97	51,90	63,87	76,14	
8	0,83	1,20	1,88	3,80	5,18	7,84	9,91	12,83	16,10	19,61	27,71	36,83	46,82	57,71	69,82	
9	0,74	1,07	1,66	2,97	4,57	6,55	8,86	11,50	14,44	17,68	24,98	33,84	42,62	52,61	63,52	
10	0,67	0,96	1,50	2,65	4,13	5,92	8,01	10,40	13,09	16,04	22,73	30,45	39,05	48,42	58,53	
12	0,56	0,80	1,24	2,21	3,48	4,95	6,72	8,74	11,01	13,52	19,25	25,87	33,31	41,57	50,46	
15	0,45	0,64	1,00	1,78	2,77	3,98	5,41	7,08	8,87	10,92	15,61	21,07	27,25	34,10	41,64	
17	0,38	0,57	0,89	1,57	2,45	3,84	4,78	6,24	7,85	9,67	13,85	18,73	24,26	30,44	37,23	
20	0,33	0,47	0,75	1,33	2,07	3,00	4,09	5,30	6,71	8,25	11,83	16,02	20,81	26,17	32,08	
25	0,27	0,39	0,59	1,07	1,67	2,89	3,26	4,27	5,41	6,68	9,54	12,91	16,79	21,17	26,01	
30	0,22	0,32	0,50	0,89	1,39	2,00	2,72	3,55	4,50	5,58	7,95	10,88	14,06	17,76	21,84	
40	0,18	0,24	0,38	0,67	1,04	1,51	2,05	2,66	3,37	4,14	6,01	8,15	10,60	13,41	16,50	
50	0,13	0,19	0,31	0,53	0,83	1,18	1,68	2,14	2,72	3,33	4,79	6,52	8,54	10,75	13,25	
60	0,11	0,16	0,25	0,44	0,69	1,00	1,38	1,78	2,36	2,78	4,00	5,44	7,10	8,87	11,06	
80	0,09	0,12	0,19	0,38	0,53	0,75	1,02	1,33	1,61	2,08	3,01	4,11	5,38	6,74	8,28	
100	0,07	0,10	0,15	0,27	0,42	0,61	0,82	1,06	1,35	1,67	2,86	3,27	4,28	5,44	6,67	
120	0,06	0,08	0,18	0,22	0,35	0,50	0,69	0,89	1,13	1,39	2,00	2,72	3,57	4,52	5,56	
200	0,03	0,05	0,08	0,18	0,21	0,30	0,41	0,58	0,68	0,88	1,22	2,18	2,70	3,33		
300	0,02	0,08	0,05	0,10	0,14	0,20	0,27	0,36	0,44	0,56	0,80	1,10	1,44	1,88	2,22	

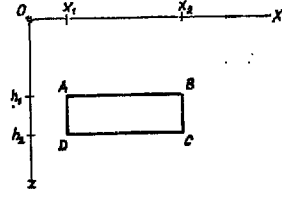
x km	0,05	0,1	0,15	0,2	0,25	0,3	0,35	0,4	0,45	0,5	0,55	0,6	0,65	0,7	0,75	0,8	0,85	0,9	0,95
0	1,05	2,10	3,14	4,19	5,24	6,29	7,33	8,38	9,43	10,48	11,52	12,57	13,62	14,67	15,72	16,76	17,81	18,86	19,91
0,025	0,47	1,80	2,21	3,16	4,14	5,12	6,12	7,12	8,13	9,14	10,16	11,18	12,20	13,23	14,26	15,28	16,30	17,33	18,37
0,05	0,29	0,94	1,73	2,69	3,49	4,42	5,37	6,33	7,30	8,27	9,26	10,25	11,24	12,24	13,24	14,23	15,25	16,27	17,28
0,1	0,16	0,69	1,18	1,88	2,66	3,46	4,31	5,18	6,08	6,99	7,91	8,84	9,78	10,73	11,69	12,65	13,62	14,59	15,57
0,15	0,11	0,42	0,84	1,45	2,11	2,82	3,58	4,37	5,19	6,04	6,90	7,78	8,67	9,57	10,48	11,40	12,38	13,26	14,20
0,2	0,08	0,32	0,66	1,17	1,73	2,36	3,04	3,76	4,51	5,30	6,10	6,98	7,77	8,62	9,49	10,37	11,26	12,16	13,06
0,3	0,06	0,22	0,48	0,88	1,26	1,76	2,31	2,90	3,54	4,21	4,91	5,64	6,39	7,16	7,94	8,75	9,56	10,39	11,23
0,4	0,04	0,17	0,37	0,64	0,98	1,89	1,84	2,34	2,89	3,47	4,08	4,72	5,30	6,08	6,79	7,52	8,27	9,03	9,80
0,5	0,03	0,13	0,30	0,52	0,80	1,18	1,52	1,95	2,42	2,98	3,47	4,04	4,63	5,26	5,90	6,57	7,25	7,95	8,67
0,6	0,03	0,11	0,25	0,44	0,68	0,96	1,29	1,67	2,08	2,52	3,00	3,51	4,05	4,61	5,20	5,81	6,44	7,08	7,75
0,7	0,02	0,10	0,21	0,38	0,58	0,88	1,12	1,45	1,81	2,21	2,64	3,10	3,59	4,10	4,68	5,19	5,77	6,37	6,98
0,8	0,02	0,08	0,19	0,38	0,51	0,73	0,99	1,28	1,61	1,96	2,36	2,77	3,21	3,68	4,17	4,68	5,22	5,77	6,34
0,9	0,02	0,07	0,17	0,29	0,46	0,66	0,89	1,15	1,44	1,77	2,12	2,50	2,90	3,38	3,78	4,26	4,76	5,27	5,80
1	0,02	0,07	0,15	0,28	0,41	0,59	0,80	1,04	1,81	1,60	1,93	2,27	2,65	3,05	3,46	3,90	4,36	4,84	5,24
1,2	0,01	0,06	0,12	0,22	0,35	0,50	0,67	0,87	1,10	1,35	1,63	1,92	2,25	2,59	2,94	3,33	3,78	4,16	4,60
1,5	0,01	0,05	0,10	0,18	0,28	0,40	0,54	0,70	0,89	1,09	1,32	1,56	1,82	2,11	2,41	2,72	3,06	3,41	3,77
1,7	0,01	0,04	0,09	0,16	0,25	0,35	0,48	0,68	0,79	0,97	1,17	1,38	1,62	1,87	2,14	2,43	2,73	3,04	3,38
2	0,01	0,03	0,08	0,13	0,21	0,30	0,41	0,53	0,68	0,82	1,00	1,18	1,39	1,60	1,89	2,08	2,34	2,62	2,91
2,5	0,01	0,03	0,06	0,10	0,17	0,24	0,33	0,43	0,54	0,66	0,80	0,96	1,11	1,29	1,48	1,68	1,89	2,12	2,36
3	0,01	0,02	0,05	0,09	0,14	0,20	0,27	0,36	0,45	0,55	0,67	0,80	0,93	1,08	1,24	1,41	1,59	1,77	1,97
3,5	0,01	0,02	0,04	0,07	0,12	0,17	0,23	0,30	0,38	0,47	0,58	0,69	0,81	0,98	1,07	1,22	1,37	1,58	1,70
4	0,00	0,01	0,04	0,07	0,10	0,15	0,21	0,27	0,34	0,41	0,50	0,60	0,70	0,82	0,94	1,06	1,20	1,36	1,50
4,5	0,00	0,01	0,03	0,06	0,09	0,13	0,18	0,24	0,30	0,37	0,45	0,53	0,62	0,73	0,83	0,95	1,07	1,19	1,33
5	0,00	0,01	0,03	0,05	0,08	0,12	0,16	0,21	0,27	0,33	0,40	0,48	0,56	0,65	0,75	0,85	0,96	1,08	1,20
6	0,00	0,01	0,03	0,04	0,07	0,10	0,13	0,18	0,23	0,28	0,34	0,40	0,47	0,54	0,62	0,71	0,80	0,90	1,00
8	0,00	0,01	0,02	0,03	0,05	0,08	0,10	0,13	0,16	0,21	0,25	0,29	0,35	0,41	0,47	0,53	0,60	0,67	0,75
10	0,00	0,01	0,01	0,03	0,04	0,06	0,08	0,11	0,13	0,17	0,19	0,24	0,28	0,33	0,38	0,43	0,48	0,54	0,61
15	0,00	0,01	0,01	0,02	0,03	0,04	0,06	0,08	0,09	0,11	0,13	0,16	0,19	0,22	0,25	0,28	0,31	0,35	0,40
25	0,00	0,00	0,01	0,01	0,02	0,03	0,03	0,05	0,05	0,07	0,08	0,10	0,11	0,14	0,15	0,17	0,19	0,22	0,24
50	0,00	0,00	0,00	0,01	0,01	0,02	0,02	0,02	0,03	0,03	0,04	0,05	0,06	0,07	0,09	0,10	0,11	0,12	



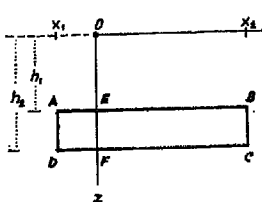
Ryc. 1. Fig. 1.



Ryc. 2. Fig. 2.



Ryc. 3. Fig. 3.



Ryc. 4. Fig. 4.

Z tablic mamy: $\Delta g_D = 34,63$, $\Delta g_C = 13,86$, $\Delta g_A = 18,80$, $\Delta g_B = 6,42$ mgsl.

Zatem $\Delta g = 34,63 - 13,86 - 18,80 + 6,42 = 8,39$ mgsl.

W przypadku, gdy punkt bieżący jest położony bezpośrednio nad pryzmą (ryc. 4) oś z dzieli pryzmę na 2 kawałki, których suma przyciągania daje przyciąganie całej pryzmy.

Przykład 3.

A ($x_1 = 1$ km, $h_1 = 2$ km) B ($x_2 = 4$ km, $h_1 = 2$ km)

C ($x_2 = 4$ km, $h_2 = 3$ km) D ($x_1 = 1$ km, $h_2 = 3$ km)

E ($x = 0$, $h_1 = 2$ km) F ($x = 0$, $h_2 = 3$ km)

Prawy kawałek (EBFC);

$$\begin{aligned} \Delta g_1 &= \Delta g_F - \Delta g_C - (\Delta g_E - \Delta g_B) = \\ &= 62,86 - 13,86 - 41,91 + 6,42 = 13,51 \text{ mgsl} \end{aligned}$$

Lewy kawałek (AEFD);

$$\begin{aligned} \Delta g_2 &= \Delta g_F - \Delta g_D - (\Delta g_E - \Delta g_A) = \\ &= 62,86 - 34,63 - 41,91 + 18,80 = 5,12 \text{ mgsl.} \end{aligned}$$

Zatem $\Delta g = \Delta g_1 + \Delta g_2 = 13,51 + 5,12 = 18,63$ mgsl.

S U M M A R Y

The author discusses and gives tables that are instrumental in determining gravity of vertical degree and rectangular prism. The gravity of a semi-infinite layer continuous to the plane xy of a co-ordinate system, the beginning of which is located at a point where the gravity Δg is calculated (Fig. 1), is the fundamental element in the preparation of these tables.

Р Е З Ю М Е

Автор описывает таблицы для определения притяжения вертикальной плоскости и прямоугольной призмы. Главным элементом в составлении этих таблиц является притяжение полубесконечного слоя, прилегающего к плоскости xy системы координат, начало которой находится в точке, в которой высчитывается притяжение Δg (фиг. 1).